超宽带低 RCS 人工磁导体棋盘阵列设计

欧阳鑫¹ 陈 星¹ OU-YANG xin CHEN Xing

摘 要

随着现代雷达的高速发展,其探测频段愈来愈宽,为了实现超宽带 RCS(radar cross section)缩减,文章设计了一种基于双层介质的人工磁导体(artificial magnetic conductor, AMC)超表面单元,在平面波垂直照射下,所设计的 AMC 单元在 3.99~12.5 GHz(相对带宽 103%)与金属表面的反射相位差满足 180°±37°。与金属板组成棋盘型阵列后,在 4.2~12 GHz(相对带宽 96.3%)频带内与等面积金属板对比达到了 10 dB 的法向单站 RCS 缩减量,最终加工样品在 4.1~11.7 GHz(相对带宽 96.2%)内 RCS 缩减量大于 8 dB,实现了超宽带的 RCS 缩减效果。

关键词

电磁超表面;人工磁导体;雷达散射截面;超宽带;轻量化

doi: 10.3969/j.issn.1672-9528.2025.04.021

0 引言

现代战争形态正伴随科技的迅猛发展加速演变,雷达等先进军事探测技术更新迭代极为迅速。在此背景下,军事设施与装备面临的探测威胁显著增大,成为增强军事防御体系、保障作战优势的关键因素。对保障军事行动的隐蔽性与安全性而言,这不仅是应对新型探测技术挑战的必要手段,更是适应未来战争趋势的战略选择[1]。雷达散射截面(radar cross section, RCS)是衡量物体隐身能力的参数,物体实现电磁隐身即降低其 RCS^[2]。而人工电磁超表面具备天然材料没有的电磁特性,已被广泛应用于电磁隐身领域中^[3],其中,人工磁导体表面是主要的电磁超表面之一,具有设计灵活、结构轻薄、易于拓展、易于加工等优点,因此受到学者广泛关注 [4-6]。

本文从雷达散射截面和人工磁导体相位对消原理出发,设计了一款超宽带双层介质 AMC(artificial magnetic conductor)单元,利用分形理论 [7-8] 设计的 AMC 表面结构配合相对介电常数较低的介质材料,使 AMC 单元的反射相位变化平缓,拓宽了 AMC 与金属面反射相位差满足180°±37°的带宽。组成棋盘型阵列后,在 4.2~12 GHz 范围内法向单站 RCS 缩减量达到 10 dB(对比等面积金属板),实物样品经测试在 4.1~11.7 GHz 内法向单站 RCS 缩减量大于 8 dB。

1. 四川大学电子信息学院 四川成都 610065 [基金项目]中国电科 22 所稳定经费支持(A132304345)

1 雷达散射截面和人工磁导体相位对消基本理论

1.1 雷达散射截面基本理论

雷达散射截面是用于定量描述目标对某一指定入射方向 的电磁波的有效散射面积的物理量 $^{[9]}$,用 σ 表示为:

$$\sigma = 4\pi \lim_{R \to \infty} R^2 \frac{|E_s|^2}{|E_i|^2} = 4\pi \lim_{R \to \infty} R^2 \frac{|H_s|^2}{|H_i|^2}$$
 (1)

式中: E_s 和 E_i 分别是散射电场强度和入射电场强度; H_s 和 H_i 分别是散射磁场强度和入射磁场强度; R是雷达与目标之间的距离, R^2 决定了 RCS 的量纲为面积 m^2 ,且说明 RCS 是一个标量。工程中常用对数形式表示 RCS,单位为dBsm:

$$\sigma_{\rm dBsm} = 10 \lg \sigma \tag{2}$$

当发射天线与接收天线位置相同时测试得到的 RCS 称为单站 RCS,当发射天线与接收天线不在同一位置时测试得到的 RCS 称为双站 RCS。

1.2 人工磁导体表面相位对消基本理论

人工磁导体表面是一种周期性的人工电磁超表面,被电磁波照射时,在工作频段内反射系数为1,且反射相位为0°,可以等效为理想磁导体(perfect magnetic conductor, PMC)^[10],而理想电导体(perfect electric conductor, PEC)的反射系数也是1,反射相位为180°。所以,利用 AMC与 PEC 反射相位差180°的性质,将两者组成棋盘型交错排列,就可以实现反射波的相位相消,实现 RCS 的缩减。

AMC与PEC组成的棋盘型阵列示意图如图1所示,其

被平面电磁波法向入射时,产生的总散射场表达式为:

$$E_r = 2A_1 e^{j\varphi_1} + 2A_2 e^{j\varphi_2} \tag{3}$$

式中: A_1 和 A_2 分别是 AMC、PEC 的反射场的幅值; φ_1 和 φ_2 分别是 AMC、PEC 反射波的相位。

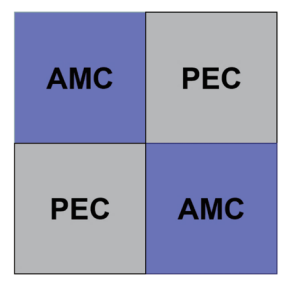


图 1 棋盘型表面示意图

相较于与棋盘型表面面积相等的金属板, RCS 缩减量 (RCS reduction, RCSR) 可以表示为:

RCSR =
$$10 \lg \left| \frac{A_1 e^{j\varphi_1} + A_2 e^{j\varphi_2}}{2} \right|^2$$
 (4)

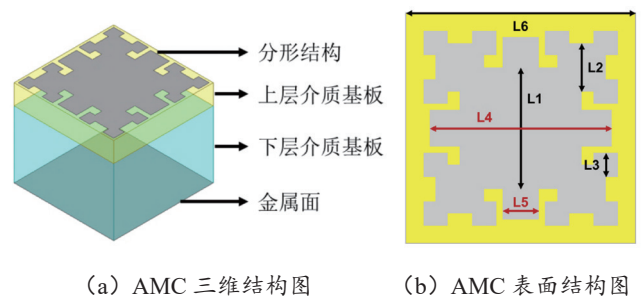
一般来说, AMC 和 PEC 均为全反射, 即 A_1 、 A_2 都为 1, 若要使 RCSR 的值大于 10 dB,则 AMC 和 PEC 的反射相位 须满足以下条件:

$$143^{\circ} \le |\varphi_1 - \varphi_2| \le 271^{\circ} \tag{5}$$

当 AMC、PEC 表面的反射相位满足式(5)时,反射场 发生干涉相消, 法向反射场能量减少, 转而增加了其他方向 副瓣的能量,从而实现了降低单站 RCS 的目标。

2 人工磁导体单元设计及仿真

本章设计了一款基于分形理论的双层介质 AMC 超表面 单元[11],结构如图 2 所示。AMC 单元由多层结构组成,从 上到下分别是分形结构、上层介质基板、下层介质基板、金 属面。上层介质基板厚度为 1.5 mm, 相对介电常数 2.55, 下 层介质基板厚度为 5 mm,相对介电常数 1.05。AMC 的表面 结构如图 2(b) 所示,介质基板的宽度 L6 为 7.5 mm,分形 结构中 L1、L2、L3、L4、L5 的参数分别为 4.6、1.8、0.8、7、 1.4 mm。



(b) AMC 表面结构图

图 2 AMC 单元结构图

本文所使用的仿真软件为HFSS (high-frequency structure simulator),利用无限大周期边界条件仿真 AMC 和 PEC 单元 [12], 仿真示意图如图 3 所示, 需要注意的是, AMC 和 PEC 单元的反射相位观察面都位于 AMC 单元的分 形结构表面。

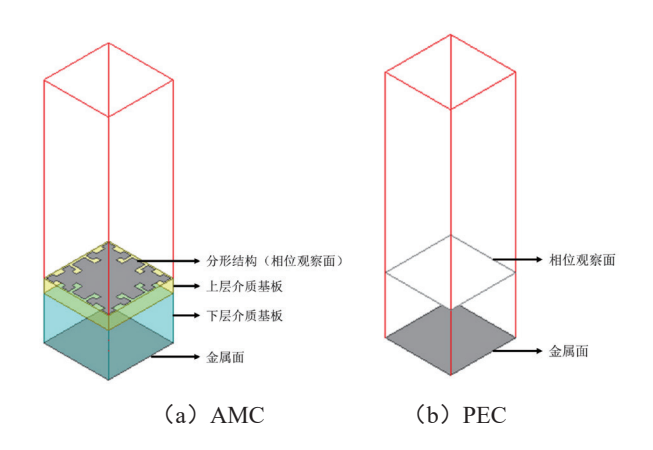


图 3 AMC 和 PEC 仿真示意图

反射系数如图 4 所示, 从图 4 (a) 中可以看到, AMC 的 0° 反射相位频点为 3.77 GHz, PEC 的 0° 反射相位频点为 11.6 GHz,由于 PEC 单元仿真时相位观察面在金属面上方 6.5 mm 处, 所以 PEC 的反射相位会随频率变化。从图 4(b) 中可以看到 PEC 的反射幅值为 0 dB, AMC 的反射幅值非常 接近 0 dB, 可看作全反射。

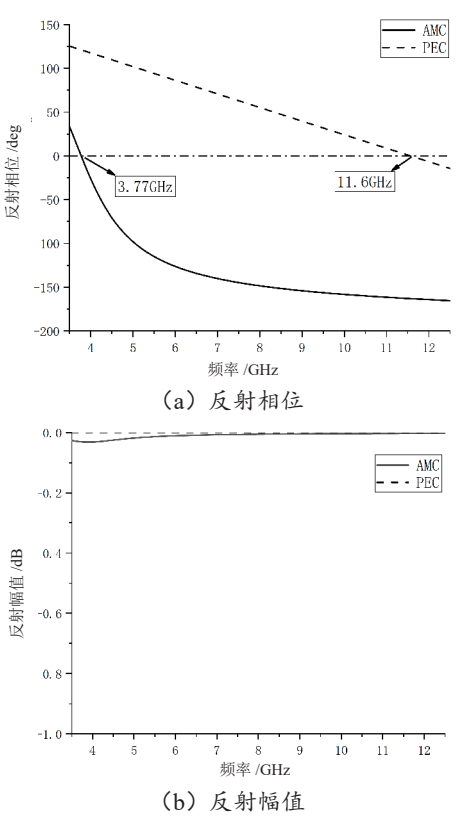


图 4 AMC 和 PEC 的反射系数

图 5 中以 180°±37° 为标准画出了两条点划线,两者的相位差满足该标准的带宽为 3.99~12.5 GHz。取 λ_0 最低工作频段对应的自由空间波长,AMC 周期的尺寸仅为 $0.1\lambda_0$,剖面厚度 $0.087\lambda_0$,满足小型化的设计需求。

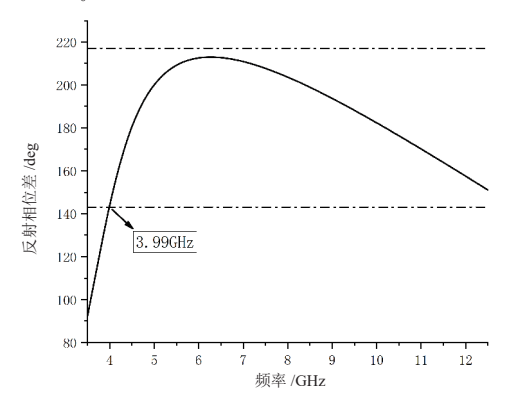


图 5 AMC 和 PEC 的反射相位差

3 人工磁导体棋盘阵列设计及仿真分析

将 AMC 单元与 PEC 单元分别组成 10×10 的大单元,然后将两个大单元进行 2×2 棋盘型正交排列组成超宽带低 RCS 超表面如图 6 所示,整体面积为 150 mm×150 mm。仿真其法向单站 RCS,结果如图 7 所示,同时与相同条件下的金属板的单站 RCS 值对比。

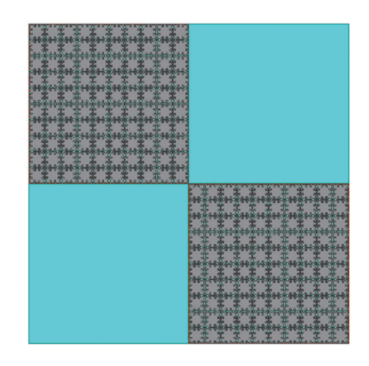
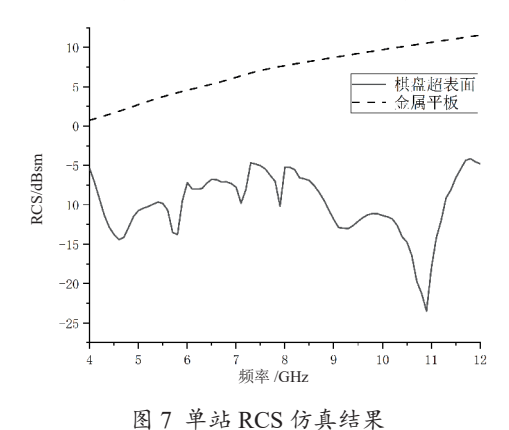


图 6 AMC 棋盘超表面结构图



为了更直观地观察 RCS 缩减效果,将两者的 RCS 相减得到 RCS 缩减量,如图 8 所示,超表面阵列在 4~12 GHz 都具备 RCS 缩减能力,在 4.2~12 GHz 内 RCS 缩减量大于

10 dB。说明本文设计的 AMC 棋盘型超表面阵列具备超宽带且优异的 RCS 缩减性能。

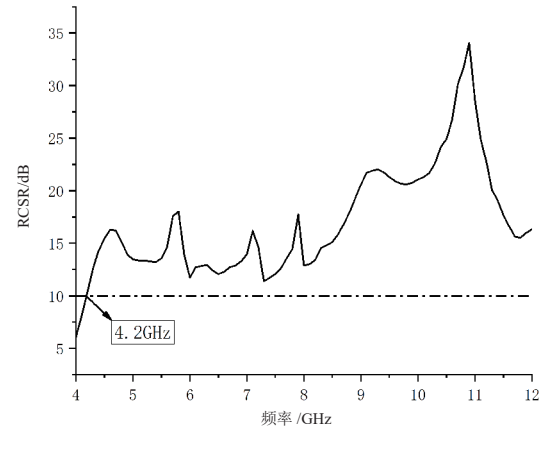


图 8 RCS 缩减量

低 頻 段 RCS 缩 减量不足 10 dB 的 原 因是:在 仿 真 AMC、PEC 单元的反射相位时使用了无限大周期边界条件,而在实际仿真 RCS 时所组成的棋盘阵列并非无限大表面,所以在低频段,电磁波的波长已经与 AMC 阵列的周期长度相 当甚至前者大于后者,此时 AMC 周期结构的反射相位不再是单元仿真时的结果,所以 RCS 缩减量与理论值不符。

4 实物加工与测试

利用印刷电路板(printed circuit board, PCB)技术制作的棋盘型超表面实物如图 9 所示,介质基板使用旺灵 F4BM255,粘贴在白色的 PMI 泡沫上,由于加工条件限制,泡沫板中心有圆形开槽,背面为粘贴在 PMI 泡沫上的铜箔。

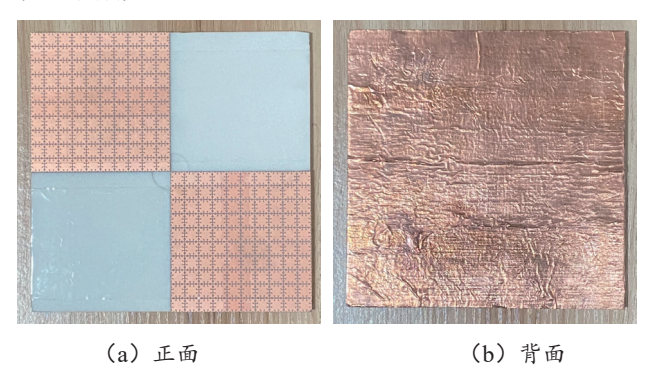


图 9 AMC 棋盘超表面样品

在微波暗室中测试加工样品,测试系统如图10所示。 将样品嵌入50 cm×50 cm 的吸波材料中心位置,发射天 线和接收天线均使用喇叭天线,置于样品的同一侧与样品 的距离为2 m,且沿着样品的中心轴对称摆放,天线口径 面与超表面平行。此时满足远场测试条件,发射天线的电 磁波到达样品时为平面波,且可以认为发射天线和接收天 线对于样品来说位于同一位置,满足法向准单站 RCS 测 试条件。使用相同的方式测试与 AMC 等面积的 PEC 的准单站 RCS。

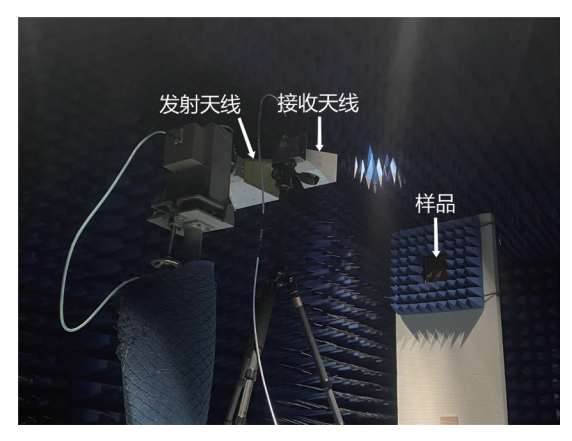


图 10 实验测试系统

样品的单站 RCS 缩减量测试结果如图 11 所示,与仿真结果走势比较吻合,在 4.1~11.7 GHz(相对带宽 96.2%)范围内 RCS 缩减量大于 8 dB,在 10.8 GHz 达到最大值 28.3 dB,说明样品具备超宽带低 RCS 性能。测试结果在6~10.5 GHz 和 11~12 GHz 明显略低于仿真结果,最大差值为 5.6 dB(12 GHz),主要原因为加工样品的尺寸以及相对介电常数存在一定误差;系统搭建过程中的位置以及方位角存在人工误差;放置样品的支架尺寸有限,存在边缘衍射误差。

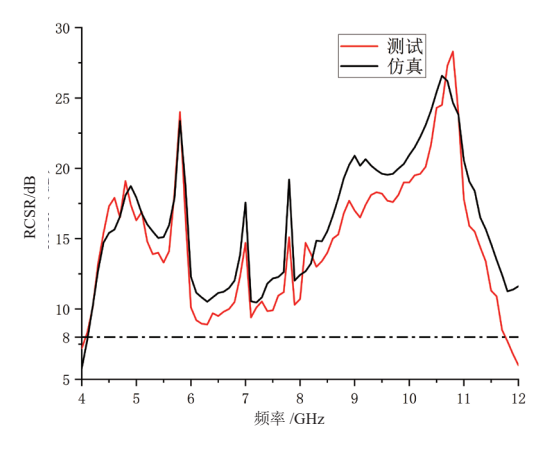


图 11 单站 RCS 缩减量仿真、测试结果

5 结论

本文基于人工磁导体缩减 RCS 的原理,设计了一款双层介质人工磁导体超表面单元,其反射相位在 $3.99\sim12.5$ GHz(相对带宽 103%) 频段内能满足与 PEC 相位对消的条件,具有较小的电尺寸(周期尺寸 $0.1\lambda_0$,剖面厚度尺寸 $0.087\lambda_0$)。然后设计了一款棋盘型超表面阵列,在 $4.2\sim12$ GHz(相对带宽 96.3%)对比等面积金属板的 RCS 缩减量大于 10 dB。对所设计的棋盘型阵列进行加工测试,结果表明电磁波法向入射时在 $4.1\sim11.7$ GHz(相对带宽 96.2%)范围内 RCS 缩减量

大于8dB,具有超宽带RCS缩减能力,同时具备易于加工、成本低、结构紧凑、质量轻便的优点。

参考文献:

- [1] 邢志宇. 基于电磁超表面的天线分析及其隐身技术研究 [D]. 成都: 电子科技大学, 2023.
- [2] 刘雨鑫. 基于电磁超表面的 RCS 缩减技术研究 [D]. 成都:电子科技大学, 2023.
- [3] 陈昊,黄兴军,陈志新.基于超表面的电磁波调控隐身技术研究进展[J]. 兵工自动化,2018,37(8):19-24.
- [4] 张璇.人工磁导体结构在天线设计及 RCS 缩减中的应用研究 [D]. 西安:长安大学,2023.
- [5] XING Z Y, YANG F, YANG P,et al. A Low-RCS and wideband circularly polarized array antenna co-designed with a high-performance AMC-FSS radome[J]. IEEE antennas and wireless propagation letters, 2022, 21(8): 1659-1663.
- [6] EL-SEWEDY M F, ABDALLA M A. A monostatic and bistatic RCS reduction using artificial magnetic conductor metasurface[J]. IEEE transactions on antennas and propagation, 2023, 71(2):1988-1992.
- [7] 邓雯. 分形多频和宽带天线的研究与实现[D]. 西安: 西安 理工大学, 2023.
- [8] DIPTIRANJAN S, SOMAK B. A gain-enhanced slotted patch antenna using metasurface as superstrate configuration[J]. IEEE transactions on antennas and propagation, 2020, 68(9), 6548-6556.
- [9] 苏琦梦. 基于超表面的 X 波段低 RCS 天线设计与研究 [D]. 哈尔滨:哈尔滨工业大学, 2023.
- [10] 李莹. 基于电磁超材料的低 RCS 天线技术 [D]. 西安: 西安 2 中子科技大学, 2019.
- [11] SUSHIL K, SHWETA R, SINGH A P. Triple band notch Microstrip patch antenna with fractal defected ground structure[J]. IETE journal of research, 2023, 69(4): 1868-1880.
- [12] 张文博, 人工电磁超表面在阵列天线雷达截面减缩中的 应用研究 [D]. 西安: 西安电子科技大学, 2020.

【作者简介】

欧阳鑫(1999—),男,湖南郴州人,硕士研究生,研究方向: 隐身电磁超表面设计。

陈星(1970—), 男, 四川巴中人, 博士, 教授、博士 生导师, 研究方向: 电磁场理论与微波工程。

(收稿日期: 2025-01-13)